

論 文

UDC 669.173.2 : 669.173.4

鉄ウイスカーの量産化に関する研究*

大 蔵 明 光**

A Trial of Continuous Production of Iron Whiskers

Akimitsu OKURA

Synopsis:

Iron whisker, a single crystal of high purity, has high tensile strength. This material is expected to be used as fiber in composite materials as well as electrical materials.

While whiskers have excellent properties, utilization is limited because of nonuniformity of length and of diameter.

The author have investigated the optimum condition to obtain uniformity of length and thickness of whiskers in continuous production by reduction of $\text{FeCl}_2 \cdot n\text{H}_2\text{O}$ with hydrogen. In this study the emphasis has been placed on the description of the usefulness of a gas curtain device combined with hinged door in the processing of iron whiskers, and the discussion on the growth mechanism has been made.

1. 緒 言

ウイスカーと呼ばれる微細針状の単結晶は化学的に純粹で、その機械的強さは理論的に導かれる完全結晶の強さに近い。このため各種複合材料^{1)~3)}の強化繊維として、また新しい電磁気材料など未来の材料として関心が高まっている。しかし現状においてはウイスカーの多量製造、均質性およびハンドリングなどの困難性から価格がきわめて高く、すぐれた特性をもちながらその利用は制限されている。

そこで工業的利用化の観点から筆者は鉄ウイスカーの大量育成法、均質性の検討、あわせて鉄ウイスカーの機械的、結晶学的性質の調査研究を進めている。特に低品位の Fe_2O_3 系粉鉱石の塩化処理、又製鉄所で排出される酸洗廃液など、微粉状塩化鉄として回収された塩化鉄の水素還元による結晶構造的に欠陥の少ない鉄ウイスカーを製造する一連のプロセスの検討は、資本節約的な新しい製鉄体系を追究する上においてもきわめて重要な意味をもつと考える。

2. 半連続ウイスカー製造装置の試作

半連続的にウイスカーを製造する目的で、従来の Brenner 法⁵⁾を改良した。すなわち Brenner 法はバッチ式であり連続的なウイスカーの育成はできない。したがつて

バッチ炉両端にガスシールのためガスカーテン装置を設置したウイスカー 製造装置を試作した。この概要図を Fig. 1 にしめした。

今日広く使用されているカーテン方式はフレームカーテン、あるいはエアーカーテンであるが化学反応用に採用した例は少ない。そこでこの試作装置により、従来のバッチ式炉でしめされたウイスカーの育成条件が再現できるか否かを検討した。

この半連続育成装置はガスカーテンに窒素を使用し、炉内の水素雰囲気と大気とを遮断し、 FeCl_2 原料を装荷したポートを均熱反応層に移動し、Fig. 1 ④に位置するガスカーテンを通過し、所定反応層がウイスカーを育成し再びガスカーテン部を経て⑧の冷却部に移動し、その後取出す方法である。

まずガスカーテン装置がこの種の反応装置に利用できるか否かについて検討する必要がある。次にそれらについて述べる。

一般に噴出口と噴流に関して有限寸法の吹出口からの等温噴出気流は Fig. 2 にしめすごとく、吹出口付近をポテンシャルコア部(Ⅰ)と称し、ここでは噴流中心速度 U_c が吹出速度 U_0 と等しく一定であり、また、吹出口から相当遠くはなれた部分を完全展開部(Ⅲ)と称す。中心速度 U_c は吹出口からの距離 Z に反比例して減少する。この両者の間に、中心速度 U_c が吹出口からの距離

* 昭和50年5月19日受付 (Received May 5, 1975)

** 東京大学生産技術研究所 工博 (Institute of Industrial Science, the University of Tokyo,
7-22-1 Roppongi Minatoku 106)

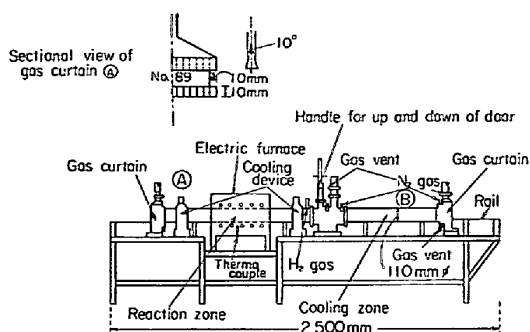


Fig. 1. Schematic diagram of semicontinuous production apparatus for iron whiskers.

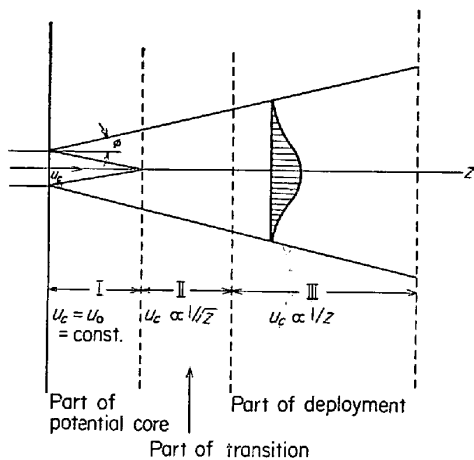


Fig. 2. Characteristics of free jet flow.

Z の平方根にほぼ反比例して減少する遷移部 (II) がある。これら 3 部分の相対長さは吹出口の形状によつて多少異なる。たとえば円型噴流および平面噴流（無限平行スロットからの噴流）においては、ポテンシャルコア部は吹出口の直径、あるいはスロット幅の数倍程度であると考えてさしつかえないとされている。自由噴流の特性の解析にはいろいろの方法があるが、此處では比較的取扱いが簡単で、しかも応用の広い REICHARDT の仮説による運動量拡散の理論に基づいて平面自由噴流の特性を調べた。この中から設計に必要な計算式だけを説明する。

まず噴流中心速度 U_c の噴出距離 Z に対する変化は、吹出速度 U_o および吹出スロットの幅 A_o の $1/2$ を基準にとつて無次元量で表わすと、

$$U_c/U_o = \sqrt{\phi(f)(1/0.00Z)} \quad \dots \dots \dots (1)$$

ただし、 $\phi_f = 2/\sqrt{\pi} \int_0^t e^{-t^2} dt$ ……誤差関数

$$Z = z/A_o$$

$$U_o, U_c : \text{m/sec}$$

$$A_o, z : \text{m}$$

となり、Fig. 3 の曲線のごとくなる。この図からもわかるごとく、 $Z = z/A_o = 9 \sim 10$ 、すなわちスロット幅の

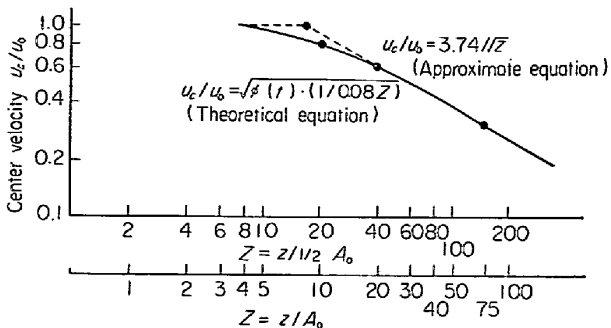


Fig. 3. Relation between center velocity of the free jet flow and Z (distance from jet slot).



Fig. 4. Velocity distribution in each slot of gas curtain.

4.5~5倍程度まで吹出口から離れても噴流の中心速度はほとんど変化なく、いわゆるポテンシャルコア部とみなせる。また、 $Z = z/A_o > 28$ 、すなわちスロット幅の約 14 倍以上に離れた位置では、図中の破線で示されるような次の近似式を用いても実用上さしつかえないとされている。

$$U_c/U_o = 3.74/\sqrt{Z} \quad (Z = z/A_o > 28) \quad \dots \dots \dots (2)$$

これらの関係式をもちいると、吹出口におけるガスカーテン噴流の最終中心速度を求めることができる。この値は一般には 2.5~3 m/sec 以上にすればよい⁴⁾。

これらの関係式にもとづき噴流の展開角度を 10° 、吹出スロットは $10 \text{ mm} \times 10 \text{ mm}$ の断面形状をもつもの 13 個のガスカーテン装置を作り、それぞれの各 13 個の吹出口の流速をベンチュリー流量計によって調べた。その流速分布の結果を Fig. 4 にしめした。若干の差はあるがほぼ $1.5 \sim 3 \text{ m/sec}$ の範囲の分布をしめしていることがわかる。このような流速分布をもつガスカーテン装置を使用した時の炉内雰囲気遮断効果を吹出速度との関係で調べた。勿論この場合の調査は常温で実施し、ガス採取は炉内中心部より 100 cc ずつ 5 回とし、その平均値を取った。分析機器は大倉式ガスクロマトグラフである。その結果を Fig. 5, 6 にしめした。Fig. 6 は炉芯管の断面方向の位置によるガス分布である。直径を約 $1/3$ に

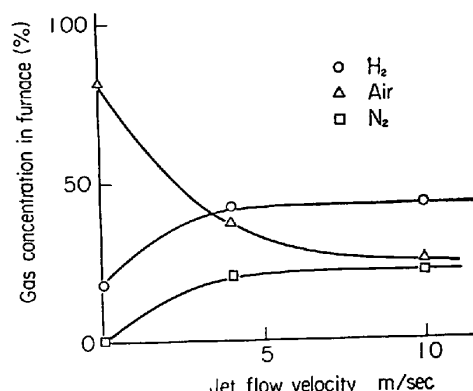


Fig. 5. Relation between jet flow velocity and gas concentration in the center of furnace.

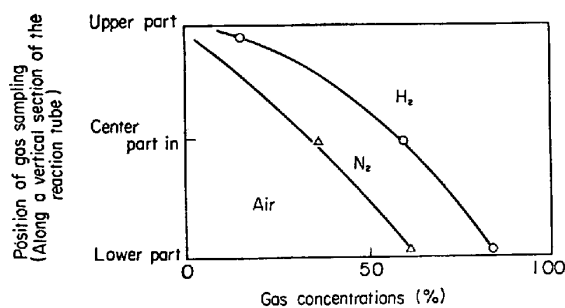


Fig. 6. Gas concentration in each part of furnace at jet flow velocity 10m/sec.

分割しガス採取をおこなつた。

これらは、実際の反応に必要な水素を炉内に 10 l/min 流入した時の窒素ガスカーテンによる遮断効果を示す。当然のことながらスロットからの窒素量の増加とともに、大気との遮断効果が認められる。また炉内水素量はスロットからの窒素にあまり左右されることなく、流速 4 m/sec 以上においてほぼ一定である。この場合の分析結果は、酸素、窒素、水素についてであり、酸素はガスカーテンの遮断効率が悪い場合に流入した空气中からのものと考えられる。そこで空気の組成に当たる窒素量を総窒素量から減じて残りの窒素がガスカーテン用窒素からのものとして表示した。

一般に反応層にガスカーテン装置を利用する場合には、炉内雰囲気用ガスの流速の高い程遮断効果を発揮することが考えられる。しかしウイスカーの製造のごとく低流速ガス雰囲気下での利用には上の結果から二重ガスカーテン、あるいは三重ガスカーテンを使用するか、他の方法の組合せを考える必要があることが明らかとなつた。

そこで多重蝶番扉と、ガスカーテンとを組合せた、雰囲気ガスシール法を考案し、予備実験をおこなつた。このガスシール法の機構を Fig. 7 にしめした。炉内ガス

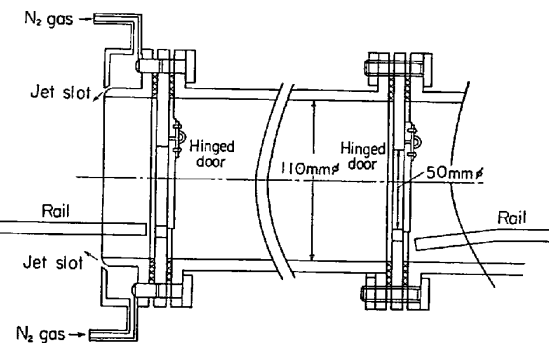


Fig. 7. Schematic diagram of gas curtain combined with multiple hinged door.

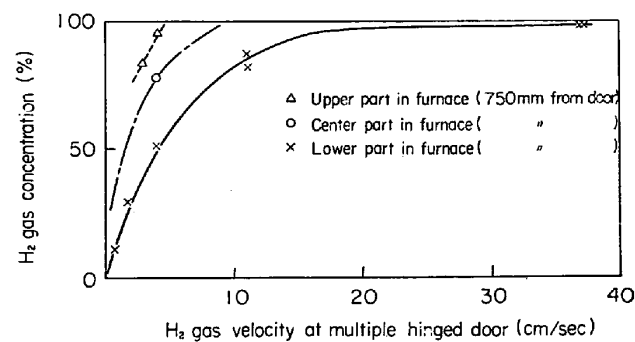


Fig. 8. Relation between gas velocity at multiple hinged door and H₂ gas concentration in furnace.

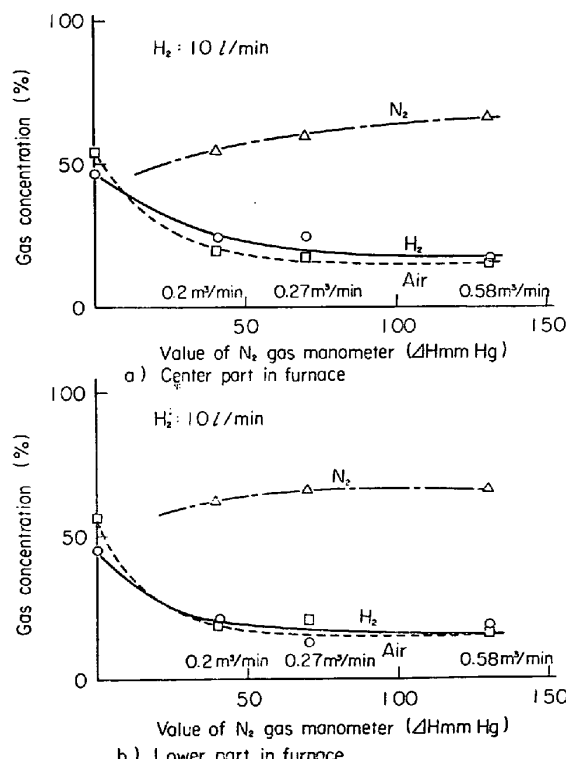


Fig. 9. Relation between sealing effect by gas curtain and gas concentration in furnace.

分布測定結果を Fig. 8, 9 にしめした。この結果によると多重蝶番扉のみでも、水素の流速 15 cm/sec 以上で炉内雰囲気は水素 100% に保ちうる。また従来の平板形ガスカーテン装置に比較して円周方向吹出口によるガスカーテン装置は遮断効率が約 40% 程度に改善された。なお水素の引火防止および反応系で発生する HCl による大気汚染の防止にも役立ち、またこのガスシール法に供するガスは空気でもよいことが明らかとなつた。

この試作装置によりウイスカーの製造実験をおこない、従来の方式によるガスカーテンの欠陥を十分克服し製造に必要な諸条件を再現できた。

3. ウイスカーの連続育成装置の試作

上記予備実験は、主としてウイスカー育成装置に必要なガスシール法の改良、およびバッヂ炉育成条件の再現性の検討であつた。その結果製造上の問題点を明らかにすることができ、これらの諸条件を考慮して自動運搬装置（ポートを移動させる装置）を備えた連続育成装置の試作をおこなつた。この装置の概略図を Fig. 10 にしめた。

この装置は炉両端出入口および焼鈍・冷却炉に多重蝶番扉とガスカーテンを組合せたガスシール法を採用したものである。また FeCl_2 原料を融液にしてポートに供給するための加熱炉とウイスカーを生成せしめる還元層を分離した反応炉、焼鈍・冷却炉および自動送り装置によつて構成されている。

製造方法は、図にしめた装置の左端よりポートが移動しポート自身で蝶番扉を開閉させ加熱層まで移動する。其処で一定量の溶融 FeCl_2 を供給し、さらに均熱部（長さ 800 mm および $\pm 5^\circ\text{C}$ ）である反応層を移動しながらウイスカーの育成をおこなう。そして育成後再び蝶番扉を開閉し、焼鈍・冷却部に移動し取出す。この一連の操作は減速モーターにより連続的におこなわれる。育成のための水素ガスは均熱部両端から供給し、その流量比により炉内の水素雰囲気制御をおこなう。この装置の炉内

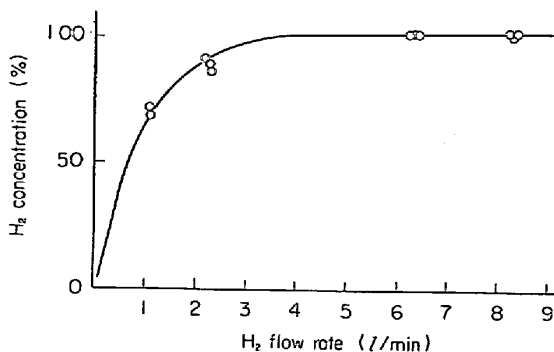


Fig. 11. Relation between sealing effect of gas curtain at center part and H_2 flow rate at room temperature.

雰囲気と大気との遮断効果を Fig. 11 にしめた。この結果から炉内雰囲気は水素流量 4.5 l/min 以上で十分還元性を保ちうることが明らかとなつた。なおモーターの送り速度は 3 mm/min ~ 30 mm/min の範囲で制御できる。

移動装置のチェーンは市販の炭素鋼を使用し、そのほかの炉芯管、ガスカーテンなどの材質はすべて SUS 27 である。加熱用熱源は電力で、溶融加熱炉 3 kW、反応層加熱 8 kW 焼鈍冷却部 3 kW の Ni-Cr ヒーターで加熱制御した。ウイスカー製造実験中、使用材料（チェーンを除く）の損傷はほとんど認められなかつた。この点については装置全体が、反応によって発生する HCl ガスの共沸点以上に保温されたため腐食性が低下したものと考えられる。このことは使用材料を選定するうえに有意義な資料と言える。

原料は市販特級 $\text{FeCl}_2 \cdot n\text{H}_2\text{O}$ (99.9%)、還元用ガスは純度 99.98% の水素ガスを使用した。ウイスカーの観察は顕微鏡により、またウイスカーの結晶構造や成長軸方位の調査は X-Ray Laue 法によつた。

4. スケールアップに伴う 成長条件の再現性

反応温度、時間、水素流量、原料装入量、また不純物などはウイスカーの形成や特性に重要な役割を演ずる。まず従来の小型炉（内径 55 mm ϕ ）から内径 110 mm ϕ の炉にスケールアップした。この場合上述の因子の影響と無次元数の統一をはかり相似なモデルを再現しなければならない。普通炉内雰囲気は使用ガス流速を Re 数（レイノルズ数）で統一することにより再現できることが知られている⁷⁾。したがつて Re 数（レイノルズ数）を一定にして上記諸因子の影響について小型炉での実験結果と比較検討した。

Fig. 12 に小型炉および連続炉のウイスカーの生成数

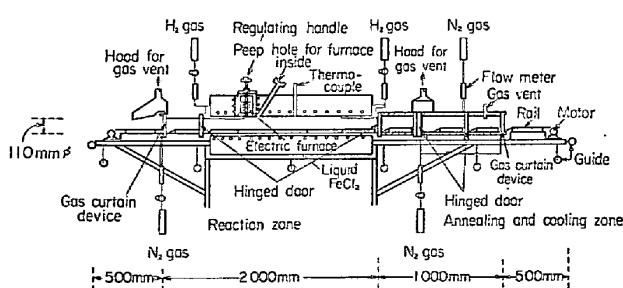


Fig. 10. Schematic diagram of continuous production apparatus for iron whiskers.

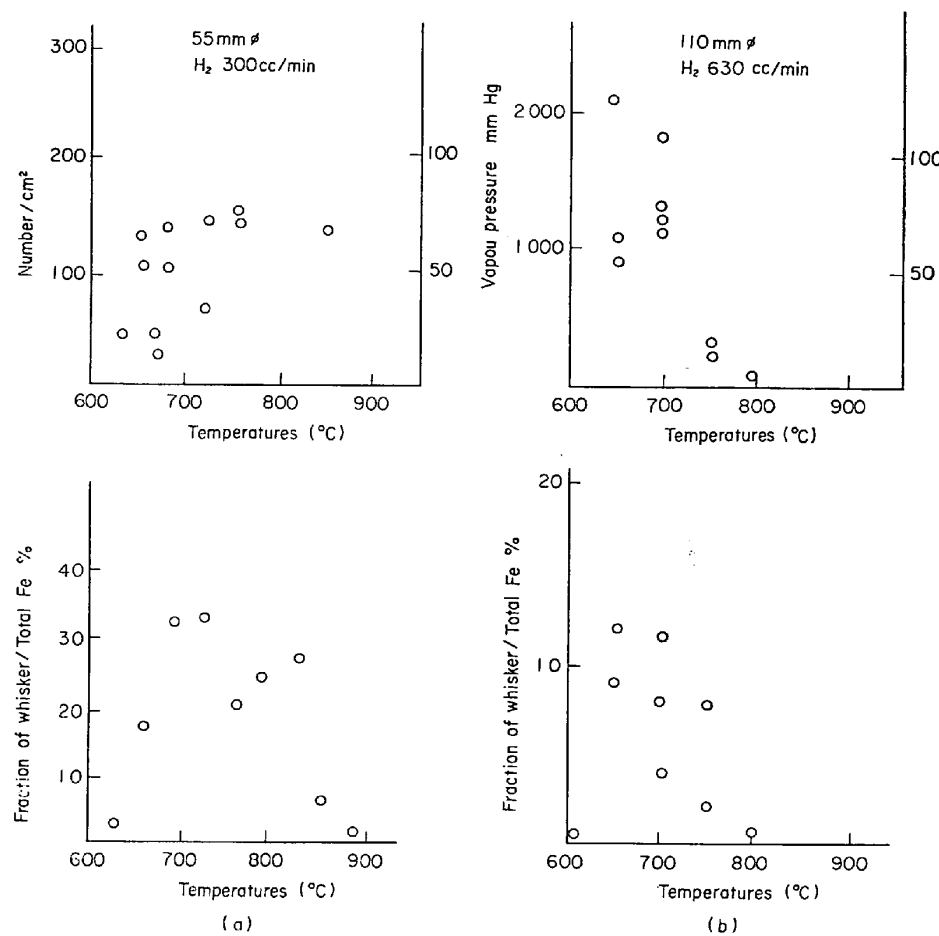


Fig. 12. Number and weight fraction of iron whisker in small scale furnace (55 mmφ) and bench scale furnace (110 mmφ).

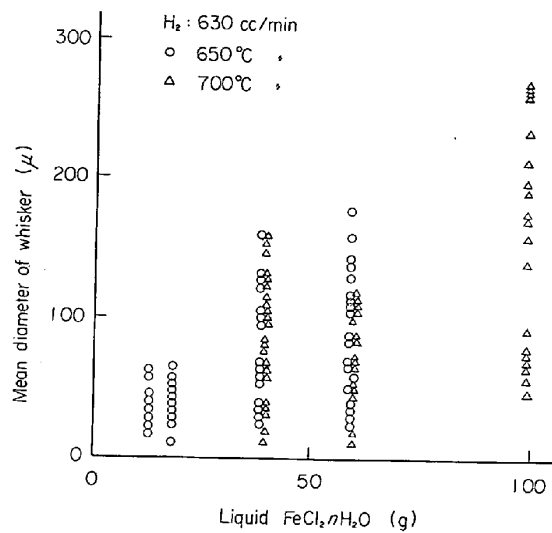


Fig. 13. Relation between mean diameter of whisker and charged $\text{FeCl}_2 \cdot n\text{H}_2\text{O}$.

および生成量と育成温度の関係をしめした。小型炉においては非常に大きな差が見られるが、連続炉においては一定の傾向をしめし、生成数および生成量ともに比較的多い範囲は 650°C ~ 700°C であることがわかる。温度

が高くなるに従つて生成量は減少していく傾向は小型、連続炉ともに同様である。高温域においては高い蒸気圧のため FeCl_2 の蒸気が水素との反応が完了する前に冷却部に放出されることに起因してウイスカーの形成および収率が減少するものと思われる。

ウイスカーの長さ 10 mm 以上で 50 本の平均太さと

原料装入量の関係を Fig. 13 にしめした。育成温度は比較的生成しやすい 650°C と 700°C でおこなつた。一定形状のポートの場合、大小のウイスカの生成量は原料装入量とともに増大するが、生成本数は原料装入量に依存しない、なおウイスカの径にバラツキが増大する傾向をしめした。このことはウイスカ生成の初期における潜伏期間において、ポート壁面に2次元的な鉄薄膜層が形成されウイスカの核形成に必要な基盤形成がおこりその後一定の頻度で核形成がなされ成長することを意味する。生成したウイスカの 50 本の平均長さと 5 mm 以上で 50 本の平均太さの関係を Fig. 14 にしめした。この結果によると径約 40μ 、長さ 10 mm 付近までと、それ以上とに差がみられる。これは、ウイスカの成長が現象的には、潜伏期間(基盤形成・核形成)伸び成長、太り成長の過程を経る気相成長であることをしめしている。

反応用水素流量の多い場合は層流状態になり、 FeCl_2 の蒸気がポート外へ未反応の状態で運びだされ、 FeCl_2 の過飽和雰囲気がこわされるためウイスカは生成にくくなる。対流をおこす流速範囲では、上記雰囲気に影響はない。ウイスカ生成のためにできるだけ低流速がよいとされている⁶⁾。

一般にハロゲン化物の還元によって得られた金属ウイスカの太さと結晶の完全性については密接な関係があり、その限界太さは数 1000 \AA ~ 数 μ で、すべりに寄与する転位はほとんど含まれていないといわれている。鉄ウイスカについても同様であると考えられるから、実用に供する鉄ウイスカを製造するには、成長過程での太さの制御が重要な課題となる。

5. 連続製造実験

試作連続炉に関する諸条件を握把したうえで実際に連続製造をおこなつた。

まず移動して来るポートに熔融炉から 60 g の FeCl_2 を装入し、反応部の温度 700°C で育成した結果、ウイスカの収率は 1% 以下であり、ウイスカはほとんど生成されず、ポート底部に海綿状還元鉄が認められた。このことは原料中に含まれる結晶水がウイスカの形成にとつて重要な因子であることを示唆したものと言える。

其処で溶融 FeCl_2 をポートに供給後観察窓より H_2O をそれぞれ 5 cc 、および 14 cc 添加して育成状況を調べた。その結果を Fig. 15 にしめした。Photo. 1 に $\text{H}_2\text{O}: 5 \text{ cc}$ 添加時の写真をしめす。

H_2O の添加量 5 cc 、 14 cc においてほぼバッチ炉の生

成傾向を再現し、なお FeCl_2 供給量の増加とともに収率も増加する。しかし太さのバラツキが大きくなる傾向をしめした。 FeCl_2 供給量の少い範囲においては、Fig. 16 に示すごとく均質なウイスカが形成された。

また自動送り装置の振動はウイスカの生成にほとんど影響を及ぼさないことも確認した。

6. 成長機構および制御に関する考察

$\text{FeCl}_2 \cdot n\text{H}_2\text{O}$ を装入したポートを反応炉均熱部にすみやかに移動した場合、あるいは溶融 FeCl_2 を装入後 H_2O や $\alpha\text{Fe}_2\text{O}_3$ を添加した場合に多くの鉄ウイスカが育成し、そうでない場合にはほとんど形成されないという結果から、ハロゲン化物の水素還元によるウイスカの生成機構、および高強度、均質性を有するウイスカの製

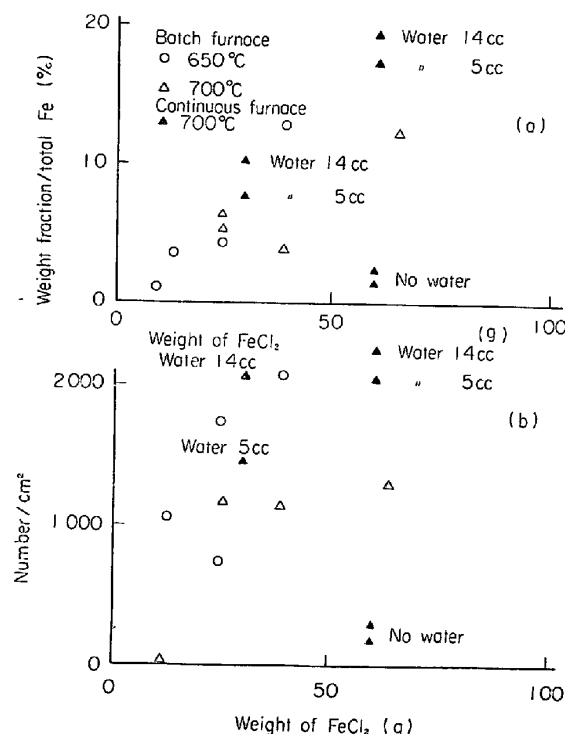


Fig. 15. Weight fraction (a) and number (b) of whisker in addition of water vapour.

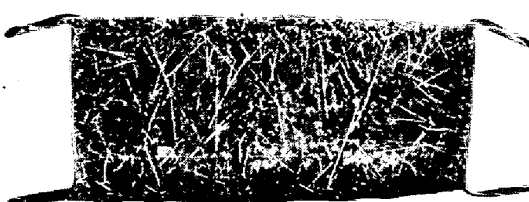


Photo. 1. Growth of iron whiskers by continuous production. Mag. 1×.

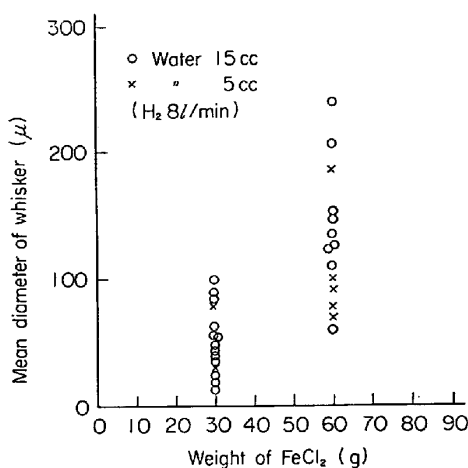


Fig. 16. Relation between mean diameter of whisker and charged FeCl_2 .

造について若干の考察をする。

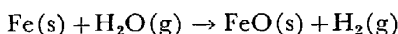
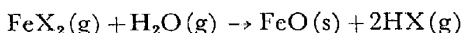
先にしめされたごとく、鉄ウイスカーの成長は気相成長であるとみなせる。

一般にウイスカーの成長を助ける内部応力を形成するのに、酸化プロセスが主導的な役割を演ずることや、生成させようとする物質側の表面に露呈した転位、結晶粒界の不整や、双晶が核の形成に一定の役割をはたすことが指摘されている。

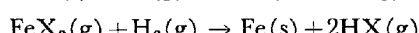
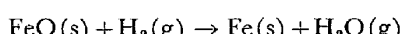
鉄ウイスカーの場合は酸化物微粒子上の相互の結晶の違いによる不整、あるいは内部応力が高まるに起因してウイスカーが成長すると考えた。

連続製造の場合にも同様の成長プロセスを経るわけであるが、バッチ式ことなり、常に反応炉内に塩化鉄の過飽和状態が存在する。したがつて2次元的基盤の形成と核形成に必要な塩化鉄と、また酸化プロセスに必要な H_2O のみの供給でウイスカーは成長することになる。この場合の核形成速度には少しの差はあるともバッチ式に比較し、均一分布をもつものと考えられ、以後のウイスカーの成長は炉内に存在する過飽和塩化鉄によるものである。

溶融 FeCl_2 をポートに供給した後 H_2O を添加すると次の反応により FeO が形成される ($p_{\text{H}_2\text{O}}/p_{\text{H}_2} > 0.02$)



この FeO はポート壁面の比較的 FeCl_2 濃度の低い所で形成される。上記の反応の間にほとんどの H_2O はポート外に排出され、この時点での反応因子は、 FeX_2 、 H_2 、 HX 、 FeO および H_2O である、次に、



の反応に従つて FeO 表面に新たな還元鉄が生成する。これが有機的な核となつてウイスカーの成長がおこる。すなわち、それぞれの結晶の格子定数がことなつた、海綿鉄上に格子歪み、あるいはステップを生じここに吸着された FeCl_2 は水素還元により Fe を生成し、それらの新しい Fe 原子は集中的にステップなどに吸着し結晶格子を組む、これの連続的作用によりウイスカーは成長する。

ウイスカーの成長や結晶成長の機構を説明する試みが種々なされている。例えば中軸のラセン転位によるステップに起因する成長や、先端不純物の触媒作用による成長の機構などが提唱されている^{8, 9)}。

なお太り成長、伸び成長については次のとく考える。ウイスカーの先端では表面張力による FeCl_2 の供給が少くなり、 FeCl_2 蒸気の凝縮のみになるので伸び成長は緩慢になる。さらに低次指数面で囲まれた側面では化学的蒸着、あるいは2次元的に Fe 原子が組み込まれて太り成長がおこる。この過程で転位や不純物などの欠陥が導入されると思われる。

上述の完全結晶に近いウイスカーの多くは、伸び成長の過程で得られるが、この制御は容易でなく、筆者がおこなつたウイスカーの直接観察結果ではウイスカーの形成開始から伸び成長の停止まで非常に早く、その成長速度は 700°C において $25\mu/\text{sec}$ であった。

この事実から均質高強度ウイスカーの製造は FeCl_2 の供給量、反応時間および $p_{\text{H}_2\text{O}}/p_{\text{H}_2}$ の微妙な制御が必要となる。次に量産性について若干の考察を加える。ウイスカー全般にわたつて、複合材料の強化纖維を中心に、そのポテンシャルは高く評価されている。しかしその実用化に当つて製造価格とその利用技術が主要な課題となる。特に性質が均一なウイスカーを多量に製造する技術は工業的な用途開発の鍵といえる。

前節までは、鉄ウイスカーの量産化に必要な基礎的資料を実験的に収集し検討を加えた。実用化のために多くの解決を要する問題が予想されるが、連続的にウイスカーを製造する装置の基礎資料を得たので、これらを基に量産性を検討してみた。

ハロゲン化物の水素還元によって育成した鉄ウイスカーは成長機構により、 $400\text{ kg/mm}^2 \sim 600\text{ kg/mm}^2$ の強度をもつウイスカーとそれ以下の強度のウイスカーの2種に大別できる。試作連続装置(全長 400°mm 、径 11°mm)の育成能力の簡単な計算によると、前者のウイスカーは $0.4 \sim 0.6\text{ kg/day}/1\text{ 基}$ 程度、後者は $2 \sim 3\text{ kg/day}/1\text{ 基}$ となる。

Table 1. Results of investigation by Laue method.

| Samples | Crystal orientation | Crystal plane | Sectional form | Dimension (μ) | Ratio of both sides (a/b) |
|---------|-----------------------|---------------|----------------|---------------------|-------------------------------|
| 1 | $\langle 100 \rangle$ | (100) | rectangular | 70×65 | 1.08 |
| 2 | $\langle 100 \rangle$ | (100) | " | 80×77 | 1.04 |
| 3 | $\langle 100 \rangle$ | (100) | " | 40×50 | 1.25 |
| 4 | $\langle 100 \rangle$ | (100) | " | 68×72 | 1.06 |
| 5 | $\langle 100 \rangle$ | (100) | " | 84×150 | 1.79 |
| 6 | $\langle 100 \rangle$ | (100) | " | 64×153 | 2.4 |
| 7 | $\langle 100 \rangle$ | (100) | quad rate | 70×70 | I |
| 8 | $\langle 100 \rangle$ | (100) | " | 30×30 | I |
| 9 | $\langle 100 \rangle$ | (100) | " | 30×30 | I |

7. ウイスカの成長軸方位

ウイスカの成長軸は対称性の高い低次指数方位をしめし、その断面形状と軸方位には密接な関係のあることが知られている。これらの軸方位の制御はウイスカの均質性や新しい用途開発を追究する上で極めて重要である。

連続炉で育成した鉄ウイスカの成長軸方位を X-Ray Laue 法で調べた結果を Table 1 にしめした。この結果より成長軸方位の大部分は $\langle 100 \rangle$ をしめし、その断面形状は正方形あるいは矩形である。矩形のウイスカについてでは辺の長さの比と軸方位との間に一定の関係が認められる。その結果を Fig. 17 にしめした。 $a/b > 3$ の場合、矩形のウイスカは (100) で囲まれた $\langle 100 \rangle$ であつた。 $\langle 100 \rangle$ の先細り傾向については、10 μ 径以下のウイスカには少ないのでそれ以上では大きくなる傾向であつた。六角形の断面をもつウイスカは (100) で囲まれた $\langle 111 \rangle$ で先細り傾向は少ない。その他 $\langle 110 \rangle$, $\langle 211 \rangle$ なども見出された。

8. まとめ

以上鉄ウイスカの量産化に関する基礎調査をおこない次のとき結論を得た。

1. 小型バッチ炉のスケールアップにともなう鉄ウイスカの生成傾向は炉内雰囲気、ガスの Re 数(レイノルズ数)を統一することにより再現し得る。

2. 多重蝶番扉とガスカーテン装置を組合せたガスシール法を採用した連続育成炉はバッチ炉と同様の雰囲気を再現出来る。溶融炉、反応炉を別々に設置した連続育成法により、太さの制御と多量育成の見通しが得られた。

3. 鉄ウイスカの成長は現象的には鉄基盤形成、核形成、伸び成長、太り成長の過程を経る気相成長であり初期の基盤・核形成の時期には FeO の存在が必要であり、伸び・太り成長の時期には $FeCl_2$ の過飽和雰囲気を

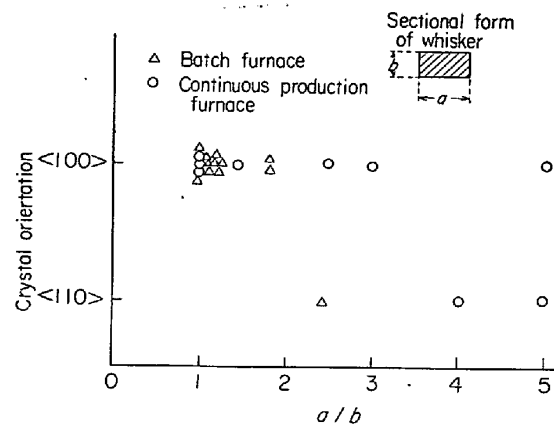


Fig. 17. Relation between crystal orientation and ratio of both sides (a/b).

必要とすることが明かとなつた。

4. ウイスカは生成機構などにより、400 kg/mm²～600 kg/mm²の高強度を有するものと、それ以下のものとに分類できる。なお量産性については、前者のウイスカは 0.4～0.6 kg/day/1 基、後者は 2～3 kg/day/1 基と試算された。

この連続育成装置の試作にあたり、新技術開発事業団より調査費として援助を受けた。実験遂行にあたつては中村敏則君(現川崎重工業)の労多く、新技術開発事業団の援助と中村君の努力に感謝するものである。またガスカーテン試作に当たりユニークな示唆を与えた東大生産技研試作工場の技官の皆様に併せて感謝致します。

文 献

- 1) 林毅: 日本機械学会誌, 71 (1965) 593, p. 27
- 2) B. PAUL: Trans. AIME, 219 (1960), p. 36
- 3) 林毅: 複合材料研究会, 7 (1969)
- 4) 新津、加藤: エア・カーテンの設計, 2 (1963)
- 5) S. S. BRENNER: J. Appl. Phys., 27 (1956), p. 1484

-
- 6) 大蔵, 金子: 鉄と鋼, 57 (1971) 10, p. 112
7) 鉄鋼基礎共同研究会資料, 6 (1971)
8) 橋口: 固体物理, (1966), p. 12
- 9) R. S. WAGNER and W. C. ELLIS: Trans.
AIME, 233 (1965) 6, p. 1053